

# Анализ на данните от измервания при максимално магнитно поле в NA61/SHINE и мишена двойник на мишената от експеримента T2K

Симона Илиева

докторант към катедра Атомна физика, Физически факултет,  
Софийски университет "Св. Климент Охридски"

Научен ръководител доц. д-р Мариян Богомилов

Атестационен семинар  
7 юни 2018 г.



# Съдържание

## 1 Въведение

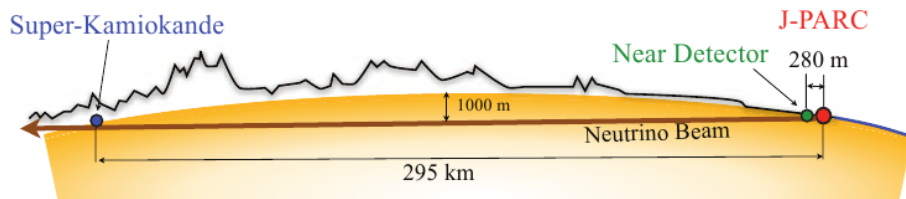
- описание на експеримента T2K
- описание на експеримента NA61/SHINE
- описание на поставената задача

## 2 Актуално състояние на извършения анализ

- критерии за подбор на събития
- характеристики на снопа
- анализ на следите в детекторната система на NA61

## 3 Следващи етапи

# Описание на експеримента T2K



детектори:

- ND280 - изследва съдържанието на  $\nu_e$  в началния сноп  $\nu_\mu$  и взаимодействията на неутриното и INGRID - измерване на интензивността и направлението на началния сноп  $\nu_\mu$
- Super-Kamiokande - детектиране на заредени токове с  $\nu$

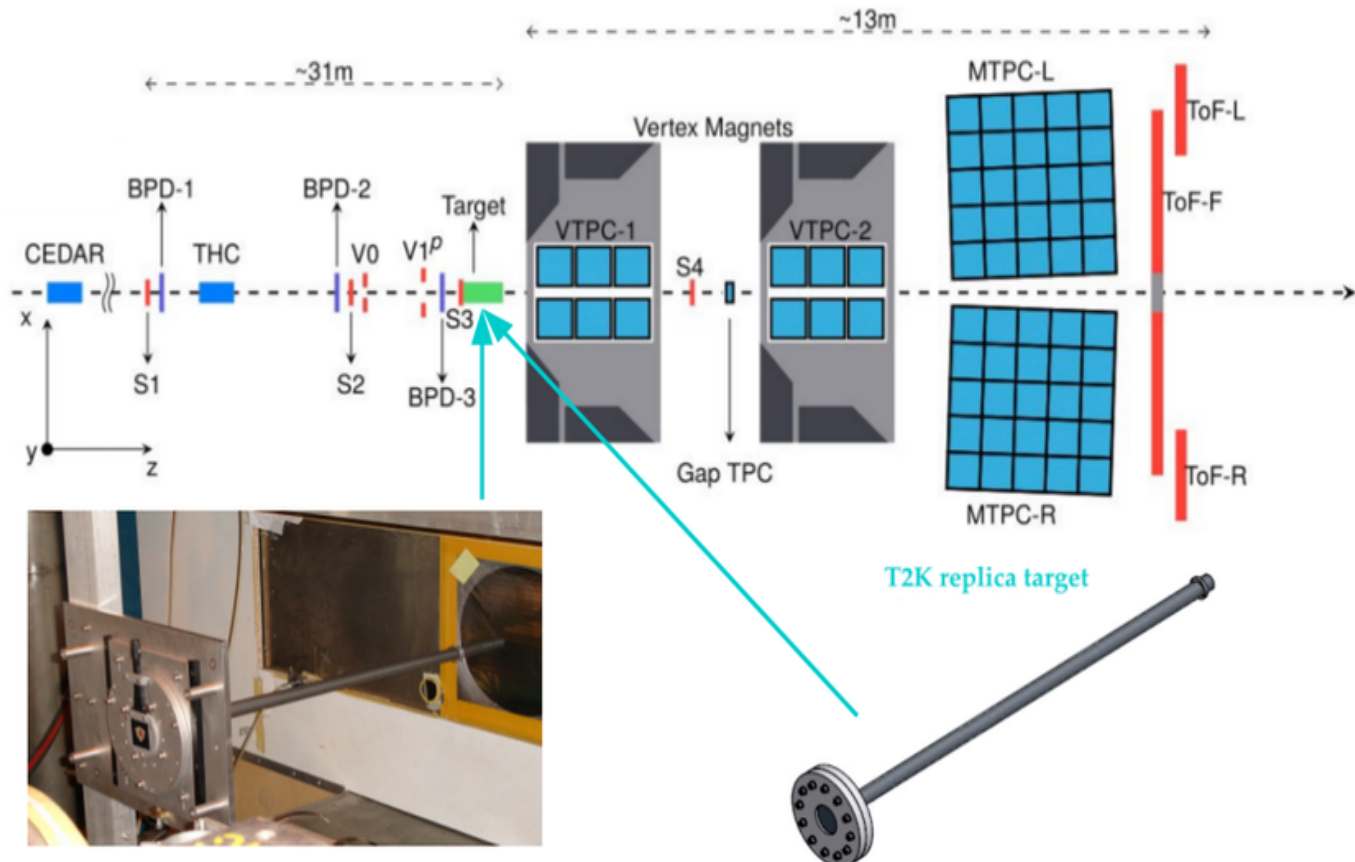
сноп - протони с енергия 30 [GeV]

мишена - дълъг графитен цилиндър с радиус 1.3 [cm]

източници на  $\nu$ :  $\pi^+ \rightarrow \mu^+ \nu_\mu$ ,  $K^+ \rightarrow \mu^+ \nu_\mu$

Доминантен фактор в пълната неопределеност на снопа  $\nu$  е неопределеността на адронните добиви, а 90% от адроните са резултат на взаимодействието сноп-мишена  $\rightarrow$  пряко измерване на адронните добиви

# Описание на експеримента NA61/SHINE



# Описание на поставената задача

Определяне на вероятността за еластично взаимодействие на протоните от началния сноп в дългата мишена и оценка на сечението им за взаимодействие с раждане на нови адрони:

$$P_{survival} = e^{-Ln\sigma_{prod}},$$

$L$  - дължина на траекторията на частицата в мишната

$n$  - брой въглеродни атоми в единица обем

Необходимост от силно магнитно поле

- закривяване на траекториите на високоенергетичните протони към детекторната система на NA61
- постига се чрез 2 диполни магнита с интензитет 1.1T и 1.5T ( $\int_L B dl = 9Tm$ )

## Критерии за началния сноп:

- T3 тригер: S1 S2  $\bar{V}_0 \bar{V}'_1$  CEDAR  $T\bar{H}C$
- началният сноп е регистриран във всеки от трите Beam Particle Detector
- протоните попадат на челото на мишната в радиус 1.28 [cm] около геометричния ѝ център

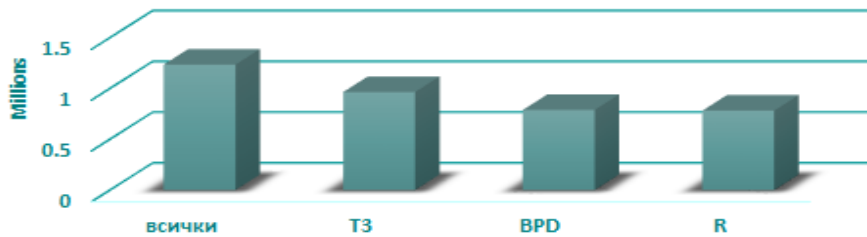
# Критерии за подбор на събития

## Критерии за реконструираните следи

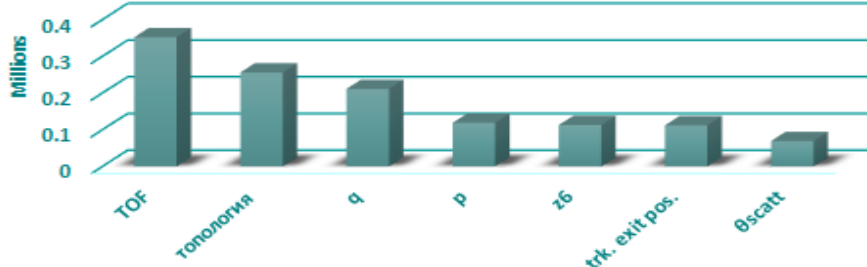
- достигат до TOF детектора
- да преминават единствено през групата детектори (GTPC+MTPC) и (GTPC+VTPC2+MTPC)
- заряд единица
- пълен импулс:  $29.0 < p < 32.0$  [GeV/c]
- частицата е преминала през задната основа на цилиндричната мишена т.е. през т.нар  $z_6$  bin
- и екстраполираната ѝ изходна позиция попада в окръжност с  $r = 1.28$  [cm] около определения геометричен център на тази основа
- ъгъл на разсейване на протоните в мишената  $\theta_{scatt}$
- предаден 4-импулс  $t\text{-}inv$

# Критерии за подбор - данни

Подбор на събитията

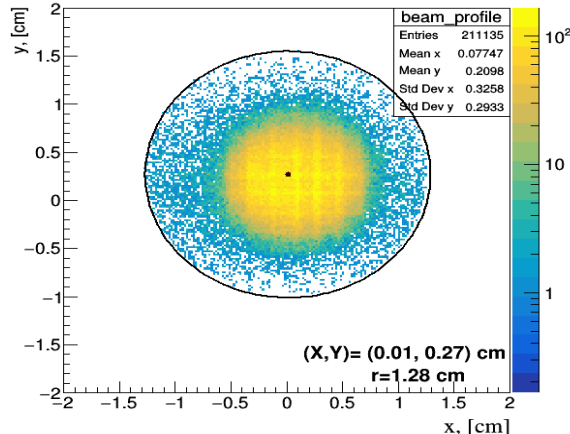


Подбор на реконструираните следи

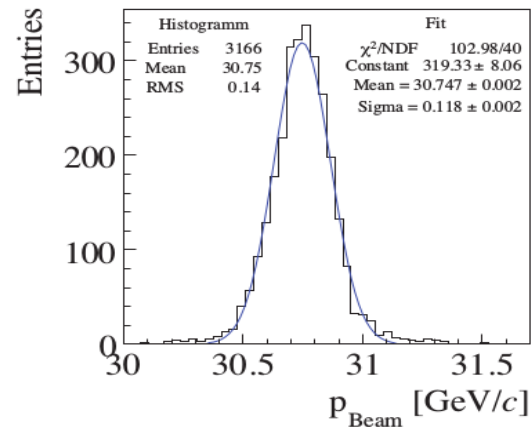


# Характеристики на снопа протони

профил на снопа  
на челото на мишена



импулс  
дани от 2007 година



начален импулс на снопа:  $30.92 \text{ [GeV}/c]$

$90 \text{ cm C мишена: } (dE/dx) \sim 2[\text{MeV}/(g/cm^2)]$ ,  $\rho = 1.832[g/cm^2]$

йонизационни загуби в мишена:  $329.76 \text{ [MeV]}$

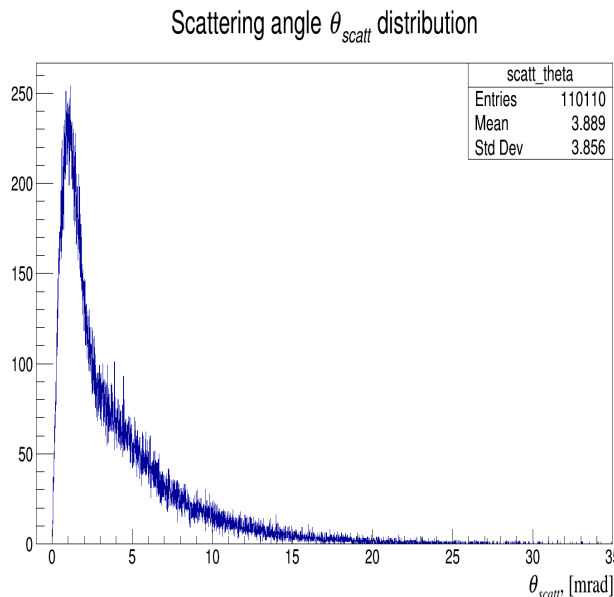
импулс на снопа, измерен в TPC:  $30.747 \text{ [GeV}/c]$

остатък: йонизационни загуби в TPC( $\sim x10 \text{ [MeV]}$ ), неопределенистии от реконструкцията на следите

# Параметри на реконструираните следи

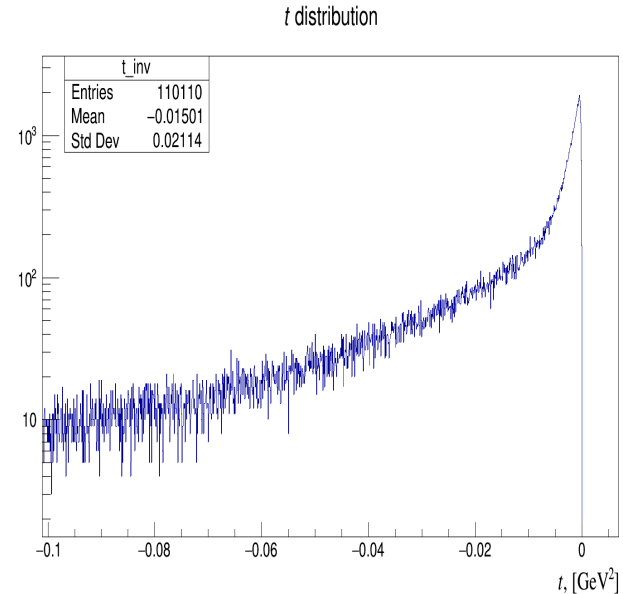
ъгъл на разсейване на частиците

$$\theta_{scatt} = \arccos \left( \frac{\vec{p}_{beam} \cdot \vec{p}_{trk}}{|\vec{p}_{beam}| \cdot |\vec{p}_{trk}|} \right)$$



предаден 4-импулс

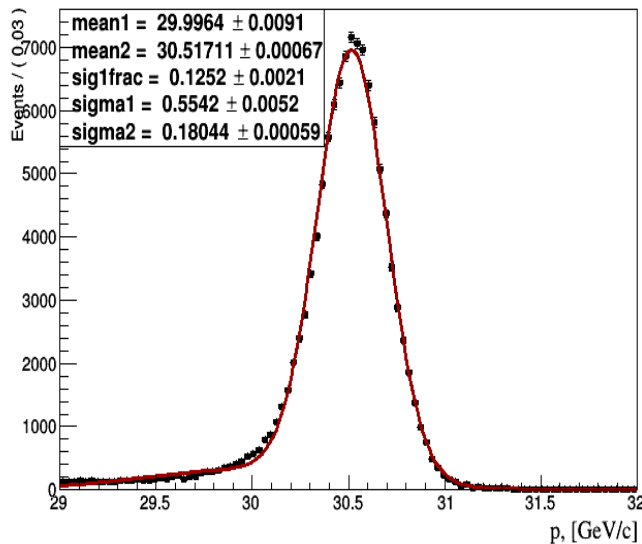
$$t = (p_{beam} - p_{trk})^2$$



# Параметри на реконструираните следи - импулс

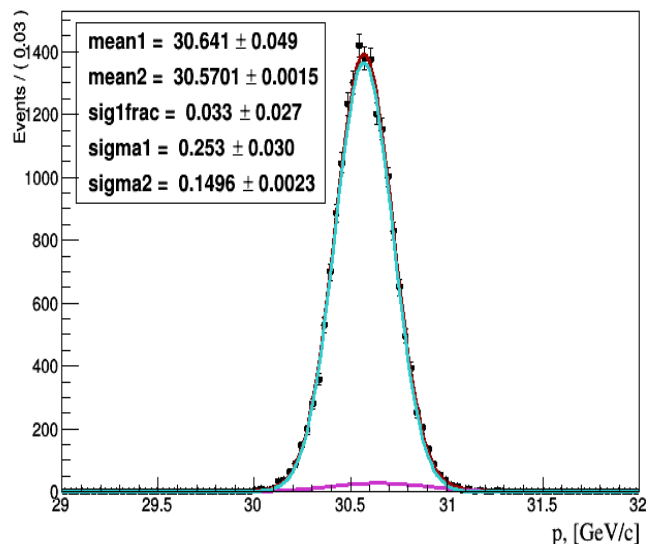
подложка от квазиеластично  
взаимодействали частици

Momentum distribution before selection



$$t > -0.001 \text{ [GeV}^2]$$
$$\theta_{scatt} < 1 \text{ [mrad]}$$

Momentum distribution after narrow  $t$  selection

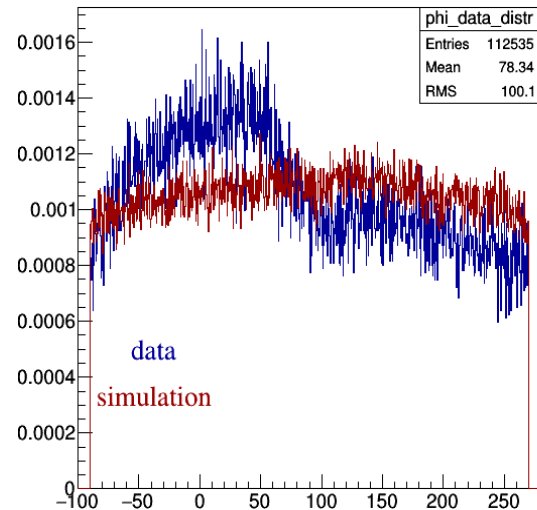
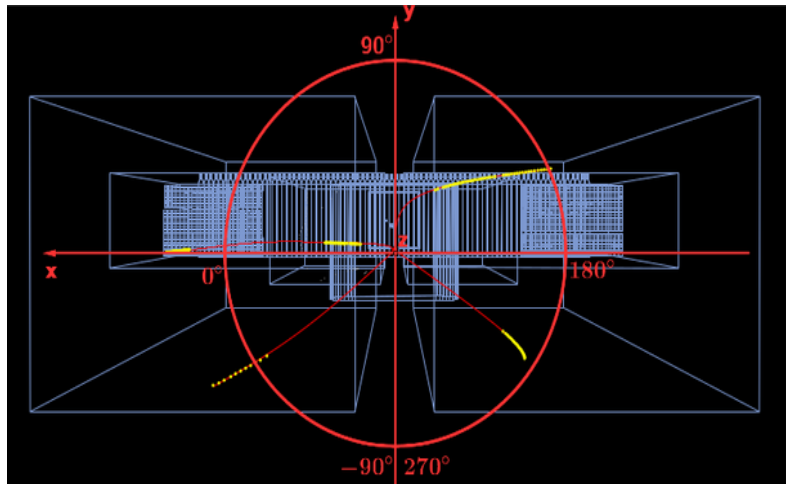


данни:  $\mu_p \pm 3\sigma: p \in [30.1213; 31.0189] \text{ GeV}/c$   
симулация:  $\mu_p \pm 3\sigma : p \in [30.1347; 30.9492] \text{ GeV}/c$

# Азимутален ъгъл

дефинирани са RightSideTracks  $q.p_x > 0$  с  $\phi_{RST} \in [-90, 90]^\circ$  и  
WrongSideTracks  $q.p_x < 0$  с  $\phi_{WST} \in [90, 270]^\circ$

$$\phi = \text{atan}(p_y/p_x)$$

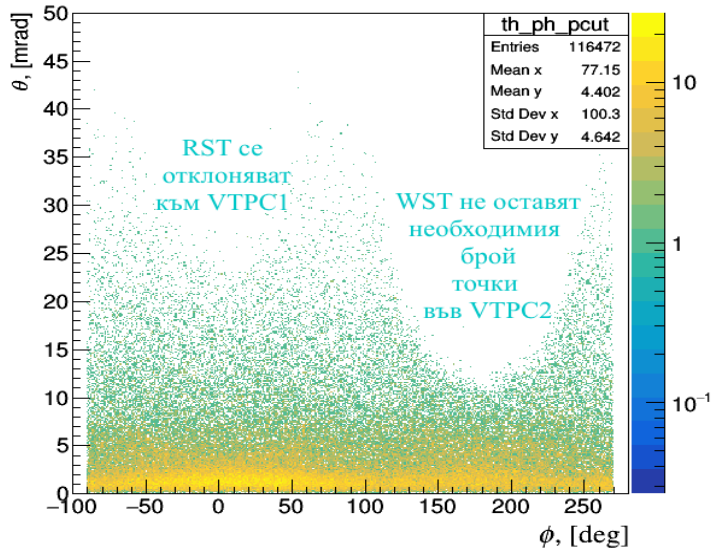


# Ъглови разпределения

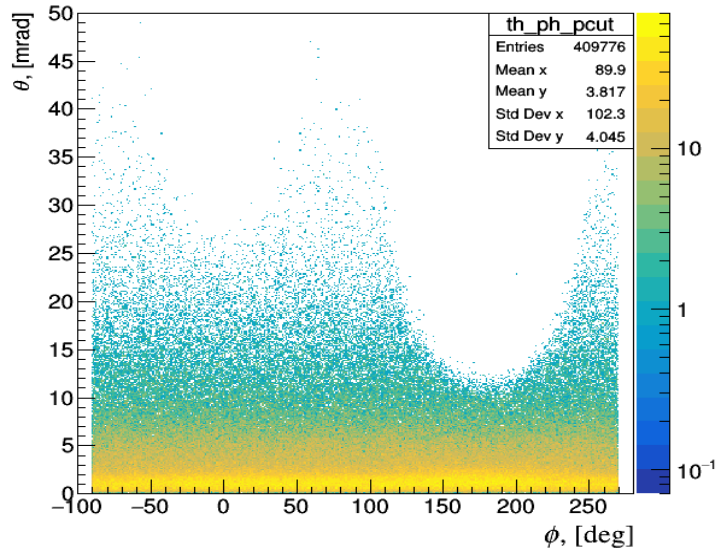
два локални минимума:

$$\phi \sim 0^\circ ; \theta \sim 25 [mrad] \text{ и } \phi \sim 180^\circ ; \theta \sim 12 [mrad]$$

$\theta$ - $\phi$  distribution,  $29 < p < 32$  [GeV/c]



MC:  $\theta$ - $\phi$  distribution,  $29 < p < 32$  [GeV/c]



разликата между RST и WST е най-ясно изразена при малки полярни ъгли  $\theta$

## Следващи стъпки

- да се обясни разликата между данните и симулацията - вече са прегледани траекториите на симулираните (true) и реконструираните следи, магнитното поле, в момента се извършва проверка на екстраполацията на следите от детекторите назад към мишена
- да се изчислят МК корекциите: ефективност при реконструирането на следите (реконструиране в детекторите на NA61 + екстраполация назад към мишена), геометрична ефективност (свързана с  $\phi$ ), взаимодействия на протоните извън мишена
- оценка на систематичните неопределеноности - свързани с наложените корекции

## За първата година от докторантурата

- успешно са издържани докторантските минимуми - по западен език и по специалността
- редовно участвам в традиционните за NA61 видео срещи "Неутрино и Космични Лъчи провеждащи се през седмица
- състоянието на анализа бе представено и на две общи срещи на NA61 - през февруари и през май 2018 година
- изпълнявам задълженията си в набирането на данни (август-септември 2017 и предстоящо през юли 2018)

Тази работа е подкрепена от

- Агенция за ядрено регулиране и ОИЯИ, Дубна (договор № 4418-1-15/17)
- Фонд "Научни изследвания"(договор ДН08/11)

**Благодаря за вниманието!**